



Raport

z badań poziomu natężenia pola elektrycznego
w otoczeniu stacji bazowej:

WRO1352

na podstawie sprawozdania P4/58/2022 udostępnionego przez A-CONNECT Anna Garwol-Porosa

Laboratorium prowadzące badania

A-CONNECT Anna Garwol-Porosa
Strażacka 3/2
58-370 Boguszów-Gorce
692 692 875

Zleceniodawca badań

P4 Sp. z o.o.

02-677 Warszawa
790 500 500
kontakt@play.pl

Nr akredytacji: AB 1284

Data wydania sprawozdania: 06.04.2022

Raport zawiera wybrane elementy sprawozdania i służy wyłącznie obrazowemu przedstawieniu informacji o danej instalacji. Raport nie może być wykorzystywany w postępowaniach administracyjnych.

Informacje ogólne

Zgodność z metodyką RMK: Tak

Ograniczenia: Na podstawie art. 122a ust. 1b ustawy Prawo ochrony środowiska (t.j. Dz.U. z 2020 r., poz. 1219, 1378, 1565, 2127, 2338, z 2021 r. poz. 802, 868, 1047, 1162, 1535.), pomiary PEM w lokalach mieszkalnych i użytkowych zlokalizowanych w obszarze pomiarowym badanej stacji bazowej nie zostały przeprowadzone.

Wykorzystanie w obszarze regulowanym: Tak

Przedmiot badań

Identyfikator stacji w UKE	WRO1352
Operator	P4 Sp. z o.o.
Współrzędne	16,9945110; 51,1162750
Rodzaj pracy	ciągła
Rodzaj wytwarzanego pola	stacjonarne

Miejsce badań

Otoczenie stacji bazowej WRO1352 w lokalizacji Wrocław, Jaworska 13.

Cel badań

1. Zweryfikowanie zgodności z wymaganiami rozporządzenia Ministra Zdrowia z dnia 19 grudnia 2019 r.

Opis stacji bazowych

Tabela 1: Opis anten badanych stacji bazowych

Lp.	Identyfikator stacji w UKE	Typ Producent anteny	Azymut	H	EIRP	Pasmo	Tilt	Tilt w trakcie pomiarów
			[°]	[m]	[W]	[MHz]	[°]	[°]
1	WRO1352	ATR4518R6v06 Huawei	20	36,60	13462*	LTE 800 LTE 2600 LTE 2600	0,0 - 1,7 0,0 - 1,7 0,0 - 1,7	0,9 0,9 0,9
2		ATR4518R6v06 Huawei	20	36,60	19994*	UMTS 900 LTE 1800 LTE 2100 LTE 1800 LTE 2100	0,0 - 1,7 0,0 - 1,7 0,0 - 1,7 0,0 - 1,7 0,0 - 1,7	0,9 0,9 0,9 0,9 0,9
3		ATR4518R6v06 Huawei	120	36,60	13462*	LTE 800 LTE 2600 LTE 2600	0,0 - 3,9 0,0 - 3,9 0,0 - 3,9	2,0 2,0 2,0
4		ATR4518R6v06 Huawei	120	36,60	19994*	UMTS 900 LTE 1800 LTE 2100 LTE 1800 LTE 2100	0,0 - 3,9 0,0 - 3,9 0,0 - 3,9 0,0 - 3,9 0,0 - 3,9	2,0 2,0 2,0 2,0 2,0
5		ATR4518R6v06 Huawei	270	36,60	13462*	LTE 800 LTE 2600 LTE 2600	0,0 - 4,3 0,0 - 4,3 0,0 - 4,3	2,2 2,2 2,2
6		ATR4518R6v06 Huawei	270	36,60	19994*	UMTS 900 LTE 1800 LTE 2100 LTE 1800 LTE 2100	0,0 - 4,3 0,0 - 4,3 0,0 - 4,3 0,0 - 4,3 0,0 - 4,3	2,2 2,2 2,2 2,2 2,2
7		5052480 Amphenol	300	15,00	36*	LTE 800 UMTS 900 LTE 1800 LTE 2100 LTE 2600	0,0 - 0,0 0,0 - 0,0 0,0 - 0,0 0,0 - 0,0 0,0 - 0,0	0,0 0,0 0,0 0,0 0,0

* moc EIRP łączna dla wszystkich częstotliwości anteny

Warunki pomiarów

Pomiary w wyznaczonych punktach wykonano w następujących warunkach:

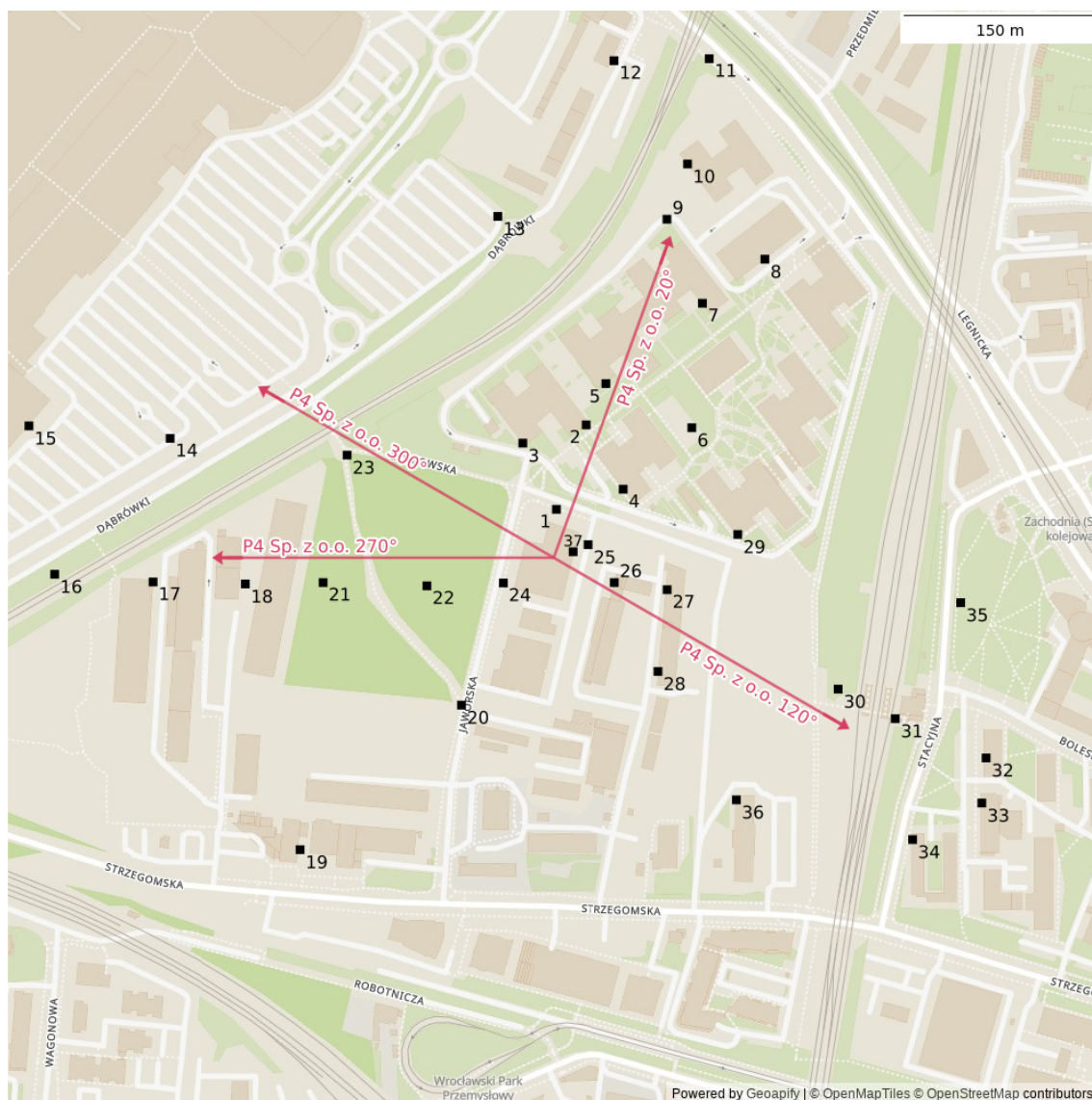
31.03.2022 14:40-16:20			
Warunki środowiskowe	Temperatura [°C]	Wilgotność [%]	Opady
Minimalna	5,0	72,1	brak
Maksymalna	5,3	73,9	

Aparatura

Tabela 2: Aparatura

MIERNIKI I SONDY					
Lp.	Typ / Nazwa	Model	Producent	Próg detekcji	Świadectwo wzorcowania
1a	miernik	NBM-520	Narda		LWiMP/W/069/22 z dn. 08.03.2022 wydane przez LWiMP Politechniki Wrocławskiej
1b	sonda	EF6091	Narda	0,50	
POZOSTAŁE					
Lp.	Typ / Nazwa	Model	Producent	Świadectwo wzorcowania	
2	termohigrometr	P330	DOSTMANN	47102/2016 z dn. 28.11.2016 wydane przez LAB-EL ELEKTRONIKA LABORATORYJNA ANDRZEJ ŁOBZOWSKI, MARIA ŁOBZOWSKA SP. J.	

Lokalizacje pionów pomiarowych



Rysunek 1: Plan terenu

Wyniki pomiarów szerokopasmowych

Tabela 3: Zestawienie lokalizacji pionów pomiarowych oraz wyników pomiarów natężenia pola elektrycznego, pomiary szerokopasmowe

Nazwa	Data	Współrzędne geograficzne	E	WM _E	H	WM _H
		[°]	[$\frac{V}{m}$]		[$\frac{A}{m}$]	
1	31.03.2022	16,9945410 51,1166140	2,58	0,092	0,007	0,094
2	31.03.2022	16,9948730 51,1172060	5,37	0,192	0,014	0,195
3	31.03.2022	16,9941650 51,1170780	4,77	0,170	0,013	0,173

Ciąg dalszy na następnej stronie

Tabela 3: Zestawienie lokalizacji pionów pomiarowych oraz wyników pomiarów natężenia pola elektrycznego, pomiary szerokopasmowe (c.d.)

Nazwa	Data	Współrzędne geograficzne	E	WM _E	H	WM _H
		[°]	[$\frac{V}{m}$]		[$\frac{A}{m}$]	
4	31.03.2022	16,9952860 51,1167550	3,97	0,142	0,011	0,144
5	31.03.2022	16,9950930 51,1174950	3,97	0,142	0,011	0,144
6	31.03.2022	16,9960530 51,1171860	1,39	0,050	0,004	0,051
7	31.03.2022	16,9961710 51,1180580	2,19	0,078	0,006	0,080
8	31.03.2022	16,9968690 51,1183670	1,99	0,071	0,005	0,072
9	31.03.2022	16,9957750 51,1186470	2,38	0,085	0,006	0,086
10	31.03.2022	16,9960050 51,1190340	2,58	0,092	0,007	0,094
11	31.03.2022	16,9962470 51,1197720	2,98	0,106	0,008	0,108
12	31.03.2022	16,9951840 51,1197580	1,79	0,064	0,005	0,065
13	31.03.2022	16,9938860 51,1186670	2,78	0,099	0,007	0,101
14	31.03.2022	16,9902280 51,1171110	2,98	0,106	0,008	0,108
15	31.03.2022	16,9886510 51,1171990	4,17	0,149	0,011	0,152
16	31.03.2022	16,9889380 51,1161590	3,97	0,142	0,011	0,144
17	31.03.2022	16,9900370 51,1161050	2,58	0,092	0,007	0,094
18	31.03.2022	16,9910670 51,1160910	2,38	0,085	0,006	0,086
19	31.03.2022	16,9916790 51,1142290	1,59	0,057	0,004	0,058
20	31.03.2022	16,9934810 51,1152420	2,98	0,106	0,008	0,108
21	31.03.2022	16,9919360 51,1161010	2,58	0,092	0,007	0,094
22	31.03.2022	16,9930950 51,1160780	2,78	0,099	0,007	0,101
23	31.03.2022	16,9922040 51,1169940	2,38	0,085	0,006	0,086
24	31.03.2022	16,9939480 51,1160980	3,58	0,128	0,009	0,130

Ciąg dalszy na następnej stronie

Tabela 3: Zestawienie lokalizacji pionów pomiarowych oraz wyników pomiarów natężenia pola elektrycznego, pomiary szerokopasmowe (c.d.)

Nazwa	Data	Współrzędne geograficzne	E	WM _E	H	WM _H
		[°]	[$\frac{V}{m}$]		[$\frac{A}{m}$]	
25	31.03.2022	16,9948950 51,1163660	2,38	0,085	0,006	0,086
26	31.03.2022	16,9951870 51,1161010	3,38	0,121	0,009	0,123
27	31.03.2022	16,9957770 51,1160510	3,18	0,114	0,008	0,116
28	31.03.2022	16,9956750 51,1154780	3,18	0,114	0,008	0,116
29	31.03.2022	16,9965660 51,1164380	3,78	0,135	0,010	0,137
30	31.03.2022	16,9976870 51,1153540	3,97	0,142	0,011	0,144
31	31.03.2022	16,9983250 51,1151470	4,37	0,156	0,012	0,159
32	31.03.2022	16,9993390 51,1148720	1,59	0,057	0,004	0,058
33	31.03.2022	16,9992910 51,1145560	1,99	0,071	0,005	0,072
34	31.03.2022	16,9985180 51,1143000	1,79	0,064	0,005	0,065
35	31.03.2022	16,9990550 51,1159600	1,99	0,071	0,005	0,072
36	31.03.2022	16,9965500 51,1145780	2,98	0,106	0,008	0,108
37	31.03.2022	16,9947280 51,1163170	13,71	0,490	0,036	0,498

Podsumowanie

Na podstawie wyników pomiarów pola elektromagnetycznego przedstawionych w niniejszym raporcie o nr P4/58/2022 opracowanym przez A-CONNECT Anna Garwol-Porosa stwierdza się, że w otoczeniu stacji bazowej WRO1352 dopuszczalne poziomy pól elektromagnetycznych w środowisku, określone w przepisach wydanych na podstawie art. 122 ust. 1 ustawy z dnia 27 kwietnia 2001 r. – Prawo ochrony środowiska uznaje się za **dotrzymane**. Udokumentowano, że w żadnym pionie pomiarowym wartości wskaźnikowe WM_E oraz WM_H nie przekroczyły 1.

Osoby odpowiedzialne

Wykonanie pomiarów: b.d.

Opracowanie sprawozdania: b.d.

Autoryzacja sprawozdania: Łukasz Porosa (Kierownik ds.jakości)